

代数多様体と対称性

- §1 K3曲面と M_{24}
- §2 Enriques 曲面と M_{12}
- §3 有限群から無限群へ
- §4 Kummer 曲面の自己同型群
- §5 Reid 曲面 mod p と M_{22} など

K3 曲面とその仲間達を中心にして

3/16/21 (火)

mini-history 1

Witt (30%)

Mathieu 群 M_{24} の決定

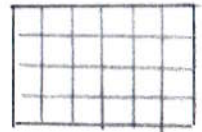
$S(4, 8, 24)$

$\mathcal{B} \subset \mathcal{P}_8(\Omega)$

Weil (1958)

K3 の命名

Kummer-Kähler 小平



の 22 目 =: Ω

$$|\mathcal{B}| = \frac{24 \cdot 23 \cdot 22 \cdot 21 \cdot 20}{8 \cdot 7 \cdot 6 \cdot 5 \cdot 4} = 754$$

§1 K3 曲面と M_{24}

コンパクト複素解析曲面 X

$K3 \iff$ 可正則 symplectic 型式, 常連結

$\omega_X \sim \int f(z_1, z_2) dz_1 \wedge dz_2$

\mathcal{B}^1 $(4) \subset \mathbb{P}^3, (2)_0(3) \subset \mathbb{P}^4, (2)_0(2)_0(1) \subset \mathbb{P}^5, \dots$

\mathcal{B}^2 の \mathcal{B}^1 Fermat 4-2 曲面, Reid 対称 (6-2 曲面)

$X: x^4 + y^4 + z^4 + d^4 = 0 \subset \mathbb{P}^3 (x:y:z:d)$

$Rd: \sum_1^6 \alpha_i = \sum_{i < j} \alpha_i \alpha_j = \sum_{i < j < k} \alpha_i \alpha_j \alpha_k = 0$

K3曲面とその仲間達と中心として

mini-history 1

Witt (30年代)

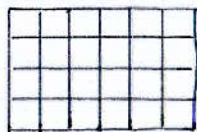
Mathieu 群 M_{24} の確定

$$S(5, 8, 24)$$

Weil (1958)

K3 の命名

Kummer-Kähler-小平



の 2x2 目

$$|\mathcal{B}| = \frac{24 \cdot 23 \cdot 22 \cdot 21 \cdot 20}{8 \cdot 7 \cdot 6 \cdot 5 \cdot 4} = 759$$

(Euler 数 = 24)

§1 K3曲面と M_{24}

$X = \mathbb{P}^2$ の複素解析曲面 X

K3 \iff 正則 symplectic 形式, 学連結

$$\omega_X \sim \int (z_1, z_2) dz_1 \wedge dz_2$$

例 (4) $\subset \mathbb{P}^3$, (2)₀(3) $\subset \mathbb{P}^4$, (2)₀(2)₀(2) $\subset \mathbb{P}^5, \dots$

例-例 Fermat 4次曲面, Reid 対称 6次曲面

$$X: x^4 + y^4 + z^4 + t^4 = 0 \subset \mathbb{P}^3 \quad (x,y,z=t)$$

$$Rd: \sum_{i=1}^6 x_i = \sum_{i<j} x_i x_j = \sum_{i<j<k} x_i x_j x_k = 0$$

定理 (M.88) 有限群 G に対しては同値

(1) G は symplectic ($G^* \omega = \omega$) にある K3 曲面に作用できる。

(2) G は $M_{24} = \{g \in \mathcal{G}_{24} \mid gB = B\}$ に

i) 共通固定点 $\neq \emptyset$, ii) 軌道の位数 ≥ 5 とする g が ± 1 である。

(3) 上の 11個の群のうち g の部分群と同型。

| | | | | | | | | | |
|----|----------|-----------------|-----------------|---------------------|-----------|-----------|---------|----------|----------|
| | $L_2(7)$ | \mathcal{V}_6 | \mathcal{G}_5 | M_{24} | F_{300} | H_{192} | \dots | M_{72} | T_{48} |
| 位数 | 168 | 360 | 120 | 960 | | | | | |
| 構造 | | 学系 4 | | $2^4 \mathcal{V}_6$ | | | | 可解 | |

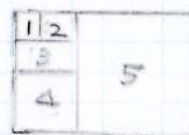
例 Fermat 4次曲面

$$(1) \text{Aut}(X \subset \mathbb{P}^3) = \{ [z^a, z^b, z^c, 1] \} \cdot \mathcal{G}_4$$

symplectic $\iff \sum a_i b_i = \text{sgn } \sigma$

$$G = F_{384} = C_4^2 \cdot \mathcal{G}_4$$

(2) $\{g \in M_{24} \mid g[i] = [i], i=1, \dots, 5\}$



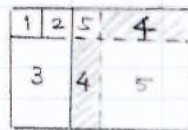
$$\cong F_{384} \quad (5 \text{ 部群の積})$$

$$\textcircled{1} \cup \textcircled{2} \cup \textcircled{3} \cup \textcircled{4} \in \mathcal{B} \quad \text{に注意}$$

例 Reid 6次

$$\text{Aut}(Rd \subset \mathbb{P}^4) = \mathcal{G}_6 = \mathcal{V}_6$$

$$\textcircled{1} \cup \textcircled{2} \cup \textcircled{3}, \textcircled{1} \cup \textcircled{2} \cup \textcircled{4} \in \mathcal{B} \quad \text{symplectic}$$



§2 Enriques 曲面と M_{12}

代数曲面に同じ Noether の問題

$$P_8 = q = 0 \Rightarrow \text{有理的?}$$

Castelnuovo の答 (1896) $P_2 = q = 0 \Rightarrow$ 有理的
Enriques の反例 (6 辺曲面が有名)

例の例

$$\bar{S}: xyzt(x^2+y^2+z^2+t^2) + \left(\frac{1}{x^2} + \frac{1}{y^2} + \frac{1}{z^2} + \frac{1}{t^2}\right) = 0$$

4 面体 $xyzt=0$ の 6 辺に沿って特異

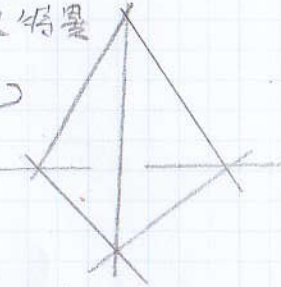
正規化 $S \rightarrow \bar{S}$, $H_{1,92}$ (右側)

幾何学的理解 (①上) \mathbb{C} が作用

$$S = X/\mathbb{C}$$

$K3$ 対応

$$\text{Fix } \mathbb{C} = \emptyset$$



semi-symplectic 型式

$$\omega_S \sim f(z_1, z_2)(dz_1 \wedge dz_2)^{\otimes 2}$$

G が作用する semi-symplectic $\Leftrightarrow G^* \omega = \omega$

$\Leftrightarrow K3$ 複素多様体 X の特異点上での symplectic

$$\text{Aut } S = \text{Cent}_{\text{Aut } X}(\mathbb{C}) / \langle \mathbb{C} \rangle$$

中心
化群

$$\text{Aut}^{\text{ss}} S = \frac{\text{Aut } X}{\text{Aut } X}$$

問題 11 個の極大群はそれぞれ Enriques 作用可能か?

$5 \frac{1}{6}$ 定理 (M. Ohashi) は同値.

- (1) G はある Enriques 曲面に semi-symp. 作用可能.
- (2) 次のどれかの部分群と同型.

~~\mathbb{Z}_2~~ ~~\mathbb{Z}_6~~ ~~\mathbb{Z}_5~~ M_{20} ~~F_{304}~~ ~~$\mathbb{Z}_{4,4}$~~ ~~\mathbb{Z}_{12}~~ $H_{1,92}$ \mathbb{Z}_{72} ~~\mathbb{Z}_8~~ ~~\mathbb{Z}_3~~

但し, $M_{20} = 2^4 \mathbb{Z}_5$ は指数 6 の部分群で置き換える.

部分群

$$\mathcal{P}(\Omega) = \mathbb{P}^2^{\oplus 24} \supset \langle \mathcal{B} \rangle =: \text{Gal}$$

A, B

$A \cup B \setminus A \cap B$

それぞれ N の \mathbb{C} 空間

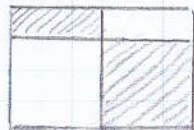
| | | | | | | |
|----|---|-----|------|-----|----|----------|
| 重数 | 0 | 8 | 12 | 16 | 24 | 計 |
| 個数 | 1 | 759 | 2576 | 759 | 1 | 2^{12} |

semi-symplectic 作用 $G \curvearrowright S$ が M.A.A.

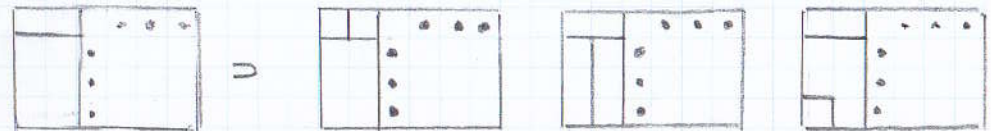
def 対応する $G \curvearrowright \Omega$ はある dodecad (Gal_{12} の元) \mathbb{C} と自身に作用する. (小 Mathieu 群 M_{12} を \mathbb{C})

M.A.A. 定理

$$\text{M.A.A. 作用可能} \Leftrightarrow \begin{cases} G \subset G_6 \subset M_{12} \\ |2^4 \times |G|| \end{cases}$$



dodecad (24) の例



$$|G_6| = 2^4 \cdot 45$$

\mathbb{Z}_6

\mathbb{Z}_{72}

G_3

この 3 つの群が M.A.A. に作用

3-Sylow の正規化群

3
§4 有限群から無限離散群へ

15

驚き! V_6 と N_{72} の作用する Enriques 曲面は同一

$$V_6, N_{72} \subset \text{Aut}^{\text{ad}}(\mathcal{S})$$

$$X \begin{cases} x^2 - 2yz = u^2 - \mu vw \\ y^2 - 2zx = v^2 - \mu wu \\ z^2 - 2xy = w^2 - \mu uv \end{cases} \subset \mathbb{P}^5_{(x,y,z,u,v,w)}$$

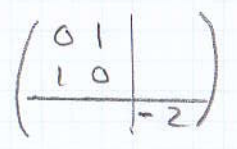
$$\mathcal{S} = X / [111-1-1-1] \quad \lambda, \mu = 1 \pm \sqrt{3} \quad \text{"Hesse-Godeaux"}$$

この表より見ると $3^2 C_4 = V_6$ と N_{72} . 2通りで表せる.

定理 (M.O.) $\text{Aut}^{\text{ad}} \mathcal{S} = V_6 *_{3^2 C_4} N_{72}$ (相対)
アマルカム (高次元積)

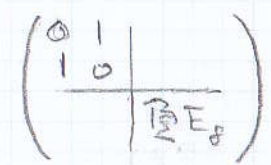
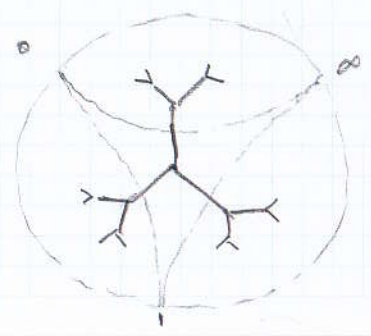
証明は $SL(3, \mathbb{Z}) = C_4 *_{C_2} C_6$ を要する.

格子



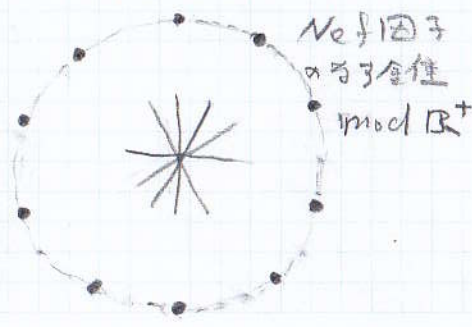
$$U + \langle -2 \rangle$$

非Euclid 平面
3価樹木



$$U + (\mathbb{R} E_2) = H^2(\mathbb{S}, \mathbb{Z}) / C_2$$

9次元空間
10価樹木



格子
の商群
mod \mathbb{R}^+

樹木の頂点集合の Voronoi 胞体の分割

16

$SL(2, \mathbb{Z})$ の 3価樹木 $\text{Aut} \mathcal{S}$ の 10価樹木



実質自由性 $\text{Ker} [SL(2, \mathbb{Z}) \rightarrow 2. \mathbb{G}_3]$
 $\cong F_2 = \pi_1(\text{Riemann 球} \setminus \{0, 1, \infty\})$
 $\text{Ker} [\text{Aut}^{\text{ad}} \mathcal{S} \rightarrow \mathbb{G}_6]$
 $\cong F_9 = \pi_1(\text{Riemann 球} \setminus \{10 \text{点}\})$

問題 $\text{Aut} \mathcal{S}$ が実質自由な Enriques 曲面上を定義せよ. (v.c.d. = 1)

(参) 常に $v.c.d.(\text{Aut} \mathcal{S}) \leq 8$
 $v.c.d. = 0$ (有限群) は Kondo (1986) が分類

mini-history 2 (Kummer サイト)

- Fresnel (1822) 光の波曲面
16特異点を持つ 4-2 曲面
- Hamilton (1833) 4本の rope (2重2次曲線)
- Göpel (1847), Cayley (1848)
- Kummer (1864) 3105x-9 族, 一般型
- Klein の問題 (1885) 及有理自己同型群を求めよ

Kondo (1998) 解決

mit nic-hartony 2 (群論サイト)

Mathieu (1861) 5重可移群 M_{12}, M_{24}

Janko $\begin{cases} (1966) \\ (1968) \end{cases} \begin{matrix} J_1 \\ J_2 \end{matrix}$ 100次元超群と12
新しい散在型単純群

Higman-Sims (1969) 別の100次元超群
 $Aut(HS \text{ グラフ})$

Conway 群 (1968, 69), Leech/Lt (1973)

4
§8 (古典) Kummer 曲面の(無限)自己同型群

C 種数2の Riemann 面

 $Jac C = \mathbb{C}^2 / (\text{周期格子})$
 \cup
④ 主偏極アベル曲面

\mathbb{R}^2 に射影 (4個の線型独立ラミ函数)

$$\mathbb{P}_{20} : Jac C \xrightarrow{2:1} Km C \subset \mathbb{P}^3$$

の像が(古典) Kummer 曲面. 16個の特
点の像で特異.

Klein の問題 (言題) 非特異化 $Km C$
の複素多様体としての自己同型群を求めよ.

$Km(C) \subset \mathbb{P}^3$ は 16本の trope (2重2次曲線)

$Km(C)$ は $16+16=32$ 本の \mathbb{P}^1 を持つ. \wedge^2 ト

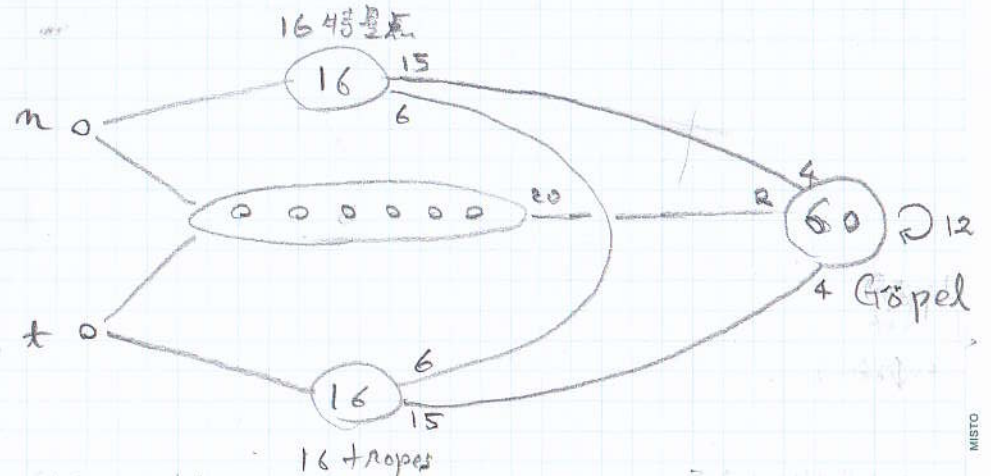
モジュールは $(*) \sum_1^6 x_i^2 = \sum_1^6 \lambda_i x_i^2 = \sum_1^6 \lambda_i^2 x_i^2 = 0$

但し, $\lambda_1, \dots, \lambda_6$ は $C \rightarrow \mathbb{P}^1$ の $\subset \mathbb{P}^5_{(2)}$
Weierstrass 点. $(16_c - 16_d)$ 西配置

定理 (金谷, 1998) (+ Ohashi (2009) の観察)

一般の Kummer 曲面の自己同型群は
16個の projection, 16個の correlation,
60個の Göpel 対応, 192個の Weber 対応,
(+) で与えられる 2^5 の作用
で生成される.

HS グラフ, \wedge^2 トロプ (100, 22, 0, 6) との関係



$(16_c - 16_d)$ の Göpel を部分グラフと333333規則グラフ

証明

$X = K_m \mathbb{C}$ の Picard 格子を拡大 Leech Λ (等長の Λ) 埋込して, Conway の Leech Λ と, Borcherds 理論 (1984) を適用.

$\text{Pic}(K_m \mathbb{C}) \hookrightarrow U + (\text{真 Leech})$

符号数 (1, 16) (1, 25)

$16+16=32$ 本の $(-2)D^1 \mapsto 32$ 個の Leech Λ

(以下証明略)

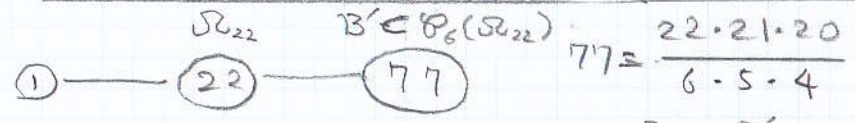
Borcherds (1998) の証明

$\text{Aut}(K_m \mathbb{C}) = (W, 2^5) * C_2^{*5}$

但し, W は $(16+16+60)$ の対称性を持つ群.

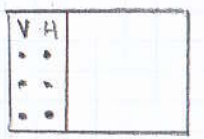
M. (最近) $\text{Aut}(K_m \mathbb{C}) = W. \langle 192 \text{ Weber}, 2^5 \rangle$

(参) HS グラフの頂点含解, あるいは M_{22} の構成

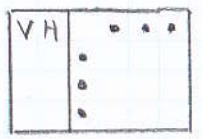


$n \neq 22$ する "77" は M_{22} グラフ $\left(\begin{smallmatrix} S & S' \\ 0 & 0 \end{smallmatrix} \right) \iff S \cap S' = \emptyset$ def.

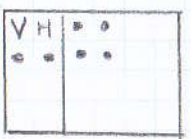
$\mathcal{O}_6 \subset M_{22}$ の作用で 3 軌道



±



etc.



etc.

16 tropes

60 Gopel

$n = (440^{22})$, 16 特異点 は $[00], \dots, [33]$.

§ 5 Reid 曲面 mod 3, 5 と M_{22} グラフ

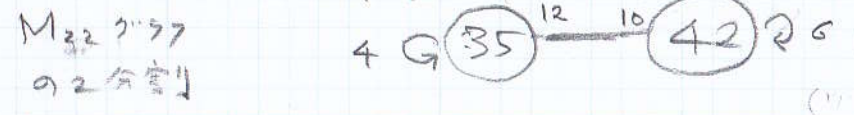
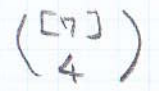
$Rd: \sum_1^6 x_i = \sum_{i < j} x_i x_j = \sum_{i < j < k} x_i x_j x_k, x_k = 0 \subset \mathcal{B}_{(6)}^5$

$Rd \pmod p \quad p \neq 2, 3, 5 \Rightarrow$ 非特異

$p = 2, 3, 5 \Rightarrow$ 特異点か有理2重点のみ
非特異化 Rd_p は \mathbb{F}_p 上の ≤ 3 曲面

| | mod 3 | mod 5 |
|-------|-------------|--------------------|
| 特異点 | (111-1-1-1) | (01111)等 |
| 等の10点 | A_2 | 6点 A_1 |
| 他 | 15本の conic | 36直線 (Sylvester配置) |

Rd_p の基本 \mathbb{P}^1 配置 $20+15=35$ 本 $6+36=42$ 本



定理 Rd_3, Rd_5 は 7 種の対称群 \mathcal{O}_7 が作用 (!)

$\text{Aut}(Rd_3) = \langle \sigma_4, \sigma_7, \mathcal{O}_7 \rangle$

$\text{Aut}(Rd_5) = \langle \sigma_3, \sigma_7, \sigma_2, \sigma_{12}, \sigma_{15}, \mathcal{O}_7 \rangle$

$\text{Aut}(Rd_2) \cong (G_6.2) * {}_3^2C_4 \cdot 3^2D_8$

$\mathcal{O}_2(1, 20)$ の非特異部分と一致 (Borcherds 理論)

まとめ

- ① Galay 符号や Mathieu 群は $K3$ とよく知っている。
- ② Leech 格子や Conway 群は $K3$ とよく知っている。ただし、 $K3$ と選り好みする。
- ③ 頂点作用素代数 V^g や E_8 -スター群は ……

III

112
話をせよからなこと、話が出来てること、…

- $K3$ 曲面上のベクトル束のモジュライ
高次元正則 symplectic 多様体
今日の話の高次元版？
- 3次元 Fano 多様体、特に、
種数 12 の V_{22} 。
Debarre-Voisin 多様体を介して
 M_{22} と関係？

テーマと文献

主題： $K3$ 曲面の対称性と有限単純群の（いくつかの）関係

参考にした文献

[R] Mark Ronan, Symmetry and the monster: one of the greatest quests of mathematics, 2006, Oxford Univ. Press.

（邦訳「シンメトリーとモンスター 数学の美を求めて」）

[K] E. Kummer, Über die Flächen vierten Grades mit sechzehn singulärten Punkten, Monat. d. Königl. Preuss. Akad. Wiss. Berlin, 1864.

（16個の特異点をもつ4次曲面について）

ご清聴ありがとうございました!